



# 阳极化扫描极谱法测定矿石中的碲

涂文志, 章淑荣, 姚亚东

(中国地质科学院成都矿产综合利用研究所, 四川 成都 610041)

摘要: 本文在资料<sup>[4]</sup>的基础上, 于 pH1.5 的盐酸联苯胺与高氯酸底液中, 用抗坏血酸代替氮气, 选用阳极化扫描, 导数极谱法测定碲, 使其测量范围由含  $\text{Te}4\mu\text{g}/\text{mL}$  扩大为  $40.0\mu\text{g}/\text{mL}$ 。并以四川石棉辉碲铋矿样为试验样品建立了其分析步骤。

关键词: 碲; 测定; 极谱法; 阳极化扫描; 抗坏血酸

中图分类号: O657.14 文献标识码: A 文章编号: 1000-6532(2000)06-0045-04

碲一直被认为不能形成独立矿床、只是以伴生方式赋存于其他元素矿床内的分散元素。因而在以往工作中, 已有的碲的测定方法多以比色法<sup>[1]</sup>或催化极谱法<sup>[1]</sup>为主。高含量碲的测定, 虽有容量法<sup>[2~3]</sup>, 其他方法报道却并不多。

1992 年, 在四川石棉发现了首例独立的碲矿床, 引起了国内外广泛关注。我们在承担该矿物样品的分析测试中, 对矿石中含量较高的碲的测定方法, 不断地进行了探索研究。发现将资料<sup>[4]</sup>介绍的方法改用阳极化扫描, 并用抗坏血酸代替氮气, 同样以导数极谱法进行测定, 可使其测量范围由含  $\text{Te}4.0\mu\text{g}/\text{mL}$  扩大为含  $\text{Te}40.0\mu\text{g}/\text{mL}$ 。以四川石棉辉碲铋矿样为试验样品, 本法测定结果与其他两种方法所测得的结果十分相近。碲浓度在  $0.0\sim 40.0\mu\text{g}/\text{mL}$ , 与波高成线性关系。

## 1 实验部分

### 1.1 仪器与试剂

JP-2 示波极谱仪; 三电极系统;

精密 pH 试纸:  $0.5\sim 5.0$ ;

盐酸联苯胺:  $0.4\%$  水溶液, 称取  $0.4000\text{g}$  盐酸联苯胺于  $50\text{mL}$  烧杯中, 加  $40\text{mL}$  水和  $10$  滴盐酸溶解后, 移入  $100\text{mL}$  容量瓶中, 水稀至刻度, 摇匀。

抗坏血酸:  $10\%$  水溶液;

高氯酸: 浓;

氨水:  $1+1$ ; 浓; 甲基紫指示剂:  $0.1\%$  水溶液;

次亚磷酸钠: 固;

酒石酸: 固;

氯化亚锡:  $20\%$ ,  $(1+1)$  盐酸溶液;

砷标准溶液:  $1.000\text{mg}/\text{mL}$ ; 碲标准溶液: 称取  $0.1000\text{g}$  金属碲 ( $99.99\%$ ) 于  $100\text{mL}$  烧杯中, 加  $\text{HNO}_3 10\text{mL}$ , 低温溶解完全后, 补加  $\text{HNO}_3 5\sim 10\text{mL}$ , 用水稀释至  $50\sim 60\text{mL}$  左右, 盖上表皿, 加热煮沸, 冷却, 移入  $100\text{mL}$  容量瓶中, 洗净烧杯, 用水稀释至刻度, 摇匀。此溶液含  $\text{Te}1.0000\text{mg}/\text{mL}$ 。用时,

稀释成含  $\text{Te}10\mu\text{g}/\text{mL}$  的溶液。

聚乙烯醇溶液:0.1%。

## 2 实验方法

吸取碲标准溶液  $250\mu\text{g}$  于 50mL 烧杯中,加高氯酸 2mL,电热板上低温处蒸至冒高氯酸烟,取下,加氢溴酸 2mL,继续蒸至冒高氯酸烟,取下,用水冲洗杯壁,再蒸至冒高氯酸烟,取下冷却;加 0.4% 盐酸联苯胺 3.0mL,10% 抗坏血酸 2.0mL,加水至 15mL 左右,加 2 滴甲基紫指示剂,用(1+1)氨水调至蓝色,加 2 滴 0.1% 聚乙烯醇溶液,用水稀释至 25mL,摇匀。再用精密 pH 试纸检查溶液  $\text{pH}=1.5$ (用氨水或高氯酸调节)。于原点电位  $-0.60\text{V}$  处,阳极化扫描,导数测其波高。碲与盐酸联苯胺的示波极谱图形见图 1。

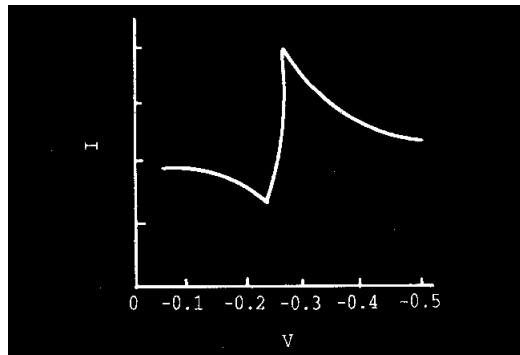


图 1 Te 与盐酸联苯胺阳极化示波极谱图  
碲的浓度在  $0.0\sim 40.0\mu\text{g}/\text{mL}$  范围内,波高与浓度成良好的线性关系,见图 2。

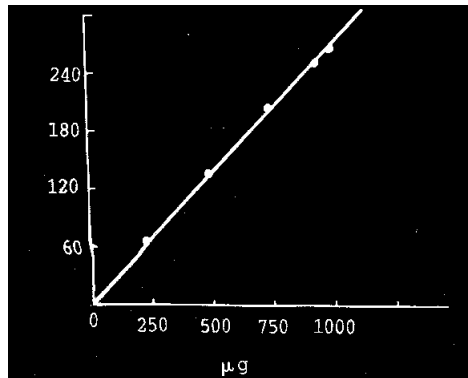


图 2 碲的校正曲线  
万方数据

## 3 实验结果与讨论

### 3.1 底液条件的选择

#### 3.1.1 溶液 pH 值的选择

按实验方法,改变溶液 pH 值,其结果见图 3~4。

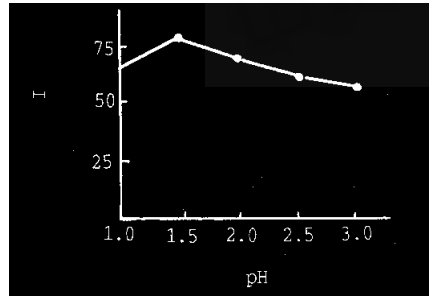


图 3 溶液 pH 对峰电流的影响

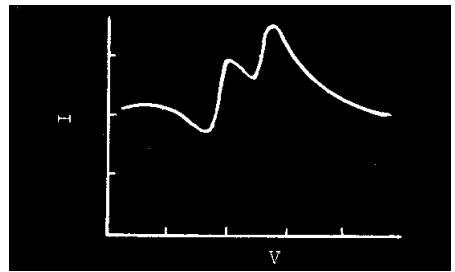


图 4  $\text{pH}>2$  时,碲与盐酸联苯胺示波波形

从图中可以看出,溶液 pH 值对峰电流影响较大, $\text{pH}1.5$  时,峰电流最大, $\text{pH}>2$  时,波变为两节且有所降低。必须严格控制。本文选定溶液 pH 值为 1.5。

#### 3.1.2 盐酸联苯胺与抗坏血酸用量

按实验方法,分别改变盐酸联苯胺或抗坏血酸的用量,结果见图 5~6。

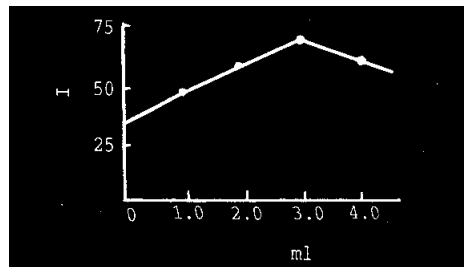


图 5 盐酸联苯胺用量对峰电流的影响

从图 5 可以看出,溶液中引入盐酸联苯胺使波高增大,当加入 3.0mL 时,波高最大,故本法选定加入 3.0mL 盐酸联苯胺。

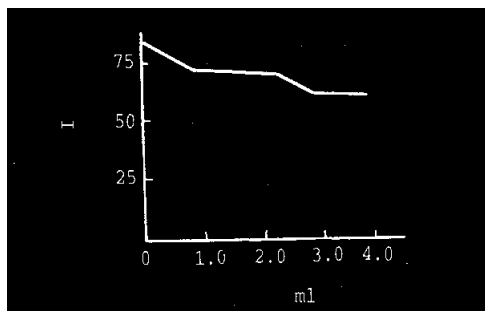


图 6 抗坏血酸用量对峰电流的影响

图 6 表明,加入抗坏血酸,波高略有降低,但在 1.0~2.5mL 内,波高稳定。故加入 2.0mL 抗坏血酸为宜。

### 3.2 干扰离子试验

试验了  $\text{Cu}^{2+}$ 、 $\text{Fe}^{3+}$ 、 $\text{Bi}^{5+}$  等 10 多种可变价阳离子的干扰,发现均较为严重。但样品经碲共沉淀分离后,采用两次氢溴酸挥发除去砷、硒、锡等的干扰。故本文样品分析仍采用碲共沉淀分离,以消除干扰元素。

### 3.3 用不同方法测定不同试验样品的结果比较

我们用四川石棉辉碲铋矿经我所选矿用浮选工艺所获得的  $\text{K}_1$ 、 $\text{K}_2$ 、A 三个不同含量的样品为试验样品,分别用本法、容量法以及  $\text{H}_2\text{SO}_4$ - $\text{NaCl}$ - $\text{NH}_2\text{OH} \cdot \text{HCl}$  底液极谱法进行了碲的含量测定。测定结果见附表。

附表 用不同方法测定碲的结果比较

样品编号	本法 测定结果 Te/%	容量法 测定结果 Te/%	$\text{H}_2\text{SO}_4$ - $\text{NaCl}$ - $\text{NH}_2\text{OH} \cdot \text{HCl}$ 底液极谱法 测定结果 Te/%
K1	16.42	16.27	16.42
	16.68	16.33	16.67
K2	15.52	15.59	15.39
	15.64	15.63	15.53
A	1.54	1.57	1.42
	1.46	1.31	1.36

从表中可以看出,本法与其他两种方法测定结果基本相同。

样品 K1 为浮选精矿, K2 为手选富矿, A 为时所完成的四川石棉辉碲铋矿选矿工艺研究试验的原矿样品,经几十次用  $\text{H}_2\text{SO}_4$ - $\text{NaCl}$ - $\text{NH}_2\text{OH} \cdot \text{HCl}$  底液法测定,测得其含碲为  $(1.40 \pm 0.02)\%$ 。

## 4 分析步骤

称取试样 0.1000g 于 150mL 烧杯中,用少许水润湿,加盐酸 10mL,低温溶解 10min,加 10~15mL 硝酸,继续加热溶解至试样完全分解,取下用水冲洗杯壁,加 (1+1) 硫酸 10mL,置电热板上蒸至冒  $\text{SO}_3$  白烟,取下稍冷,用 (1+2) 硫酸冲洗杯壁,再蒸至冒浓厚的  $\text{SO}_3$  白烟 5min 左右,取下冷却,加 (1+1) 盐酸 50mL,酒石酸 2g,加热至溶液清亮,趁热滴加 20% 氯化亚锡至溶液无色或浅黄色,加 2.0mg 砷溶液,2.0g 次亚磷酸钠加热煮沸,并保温 30min,取下冷却静置 2h 以上,用慢速定量滤纸过滤,用含 2% 次亚磷酸钠的稀盐酸洗涤该烧杯和沉淀各 5~7 次,再用水洗 2~3 次,沉淀用微沸的 (1+1) 逆王水溶解于原烧杯中,用热水洗至滤纸无黄色(控制体积 50~60mL),盖上表皿,加热至沸,取下冷却至室温,移入 100mL 容量瓶中,洗净烧杯,用水稀释至刻度摇匀。

吸取 2.0~10.0mL 溶液于 50mL 烧杯中,加高氯酸 2.0mL,在电热板上蒸至冒高氯酸烟,取下加氢溴酸 2~5mL,在电热板上蒸至冒高氯酸烟(重复加氢溴酸一次),取下稍冷用水冲洗杯壁,再于电热板上蒸至冒高氯酸烟,取下冷却加 0.4% 盐酸联苯胺 3.0mL,余下同实验方法操作,进行测定。按标准曲线法计算结果。

标准曲线的绘制:分别吸取碲标准溶液 0.0、250、500、750、1000 $\mu\text{g}$  于 50mL 烧杯中,加高氯酸 2.0mL,以下同实验方法操作进行测定,绘制标准曲线。

## 5 结 语

由于我所没有含碲标样,较高含量碲的矿石标样更是未见报道,因而本法未用标样来进行验证。不过,试验样品中, A 样已经几十次用  $\text{H}_2\text{SO}_4$ - $\text{NaCl}$ - $\text{NH}_2\text{OH} \cdot \text{HCl}$  底液法测定,其结果为  $\text{Te}\% = 1.40 \pm 0.02$ ,与本法结果  $\text{Te}\% = 1.50$ ,误差在允许范围之内。

另外,试验中,我们还发现对不含铜和铋含量 $<2\%$ 的矿石样品,如试验样品中的 A 样品,经王水溶解后,不需用砷共沉淀进行分离,直接吸取适量试液按本法进行测定,也可获得满意的结果,这样便大大地缩短了分析时间。

此外,应注意,几次高氯酸冒烟温度不能太高,时间不能太长,刚刚冒烟即可,否则结

果重现性不好。

#### 〔参 考 文 献〕

- 1 岩石矿物分析编写组. 岩石矿物分析[M]. 北京: 地质出版社, 1991
- 2 GB2145-80 国家标准[S]. 1981(10)
- 3 李绍荣,等. 分析化学, 1975(3)
- 4 矿产综合利用研究所. 矿物原料分析[R]. 1972 (1)

## Determination of Tellurium in Ore by Anodization Scan Polarography

TU Wen-zhi, ZHANG Su-rong, YAO Ya-dong

(Chendu Institute of Multipurpose Utilization of Mineral Resources, CAGS, Chendu, Sichuan, China)

**Abstract:** At pH=1.5 of medium with benzidine chloride and perchloric acid, using ascorbic acid to replace nitrogen, and adopting anodization scan and derivation polarography, tellurium can be determined up to  $40\mu\text{g}/\text{mL}$ . Determination of tellurium in tetradymite was performed by the method.

**Key words:** Tellurium; Determination; Polarography; Anodization scan; Ascorbic acid